

ლექცია 4

თემა 2. სიგნალების სპექტრალური ფარმოლგენა

განსხვავებული სისტემების ორთოგონალური ფუნქციების შორის, რომლებიც შესაძლებელია გამოყენებულ იქნეს რადიო ტექნიკური სიგნალების ბაზისებათ, განსაკუთრებული აფგილი უკავია ჰარმონიულ (სინუსოიდალურ და კოსინუსოიდალურ) ფუნქციებს. ჰარმონიული სიგნალების მნიშვნელობა განპირობებულია რიგი მიზეზებით. კერძოდ:

1. ჰარმონიული სიგნალები ინგარისნტულია გარდაქმნების მიმართ, რომლებსაც ანთორციელებს სტაციონარული ხაზოვანი ელექტრული წრედები. თუ ასეთი წრედი აღიგძება გარმონიული რევის წყაროს მეშვეობით, მაშინ სიგნალი წრედის გამოსავალზე რჩება ჰარმონიული იგივე სიხშირით, მაგრამ შესავალი სიგნალის მიმართ განსხვავებული მხოლოდ ამპლიტუდით და ფაზით.

2. გარმონიული სიგნალების გენერირების ტექნიკა შედარებით მარტივია.

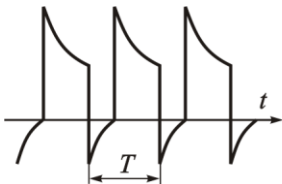
თუ რამე სიგნალი წარმოდგენილია განსხვავებული სიხშირის ჰარმონიული რხევების ჯამად, მაშინ ამბობენ, რომ განხორციელებულია ამ სიგნალის სპექტრალური დაშლა. ჰარმონიული სიგნალის ცალკეული კომპონენტები წარმოადგენენ მის სპექტრს.

2.1. პერიოდული სიგნალები

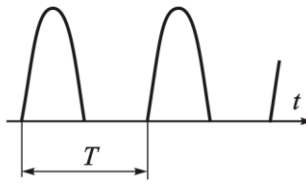
დროში განმეორებადი პროცესის მათემათიკური მოდელი არის პერიოდიული სიგნალი $s(t)$ შემდეგი თვისებებით:

$$s(t) = s(t \pm nT), \quad n = 1, 2, \dots \quad (2.1)$$

სადაც T - სიგნალის პერიოდია (იხ. ნახ. 2.1 და 2.2).



ნახ. 2.1



ნახ. 2.2

ამოცანა მდგომარეობს იმაში, რომ ვიპოვოთ ასეთი სიგნალის სპექტრული შლილი.

2.2. ვურის მდგრადი

დროის $[-T/2, T/2]$ მონაკვეთში შემოვიტანოთ ორტონორმი-რებული ბაზისი შედგენილი პარმონიული ფუნქციების ჯერადი სისტირეებით:

$$\begin{aligned} u_0 &= 1/\sqrt{T}, & u_1 &= \sqrt{2/T} \sin 2\pi t / T, \\ u_2 &= \sqrt{2/T} \cos 2\pi t / T, & u_3 &= \sqrt{2/T} \sin 4\pi t / T \\ u_4 &= \sqrt{2/T} \cos 4\pi t / T, & u_5 &= \sqrt{2/T} \sin 6\pi t / T \\ &\dots & &\dots \end{aligned} \quad (2.2)$$

ამ ბაზისიდან ნებისმიერი u_n აქმაყოფილებს პერიოდულობის (2.1) პირობას. ამიტომ, ამ ბაზისში $s(t)$ სიგნალის ორტოგონა-ლური დაშლის შემდეგ, ანუ თუ გამოვითვლით კოეფიციენტებს $c_m = (s, u_m)$, (2.3)

მივიღებთ სრული დაშლას

$$s(t) = \sum_{m=0}^{\infty} c_m u_m(t), \quad (2.4)$$

რომელიც ჰქონდა განსაზღვრულო დროის დერძე.

(2.4) სახის რიგს ეწოდება მოცემული სიგნალის **ფურიეს რი-გი**. შემოვიტანოთ მიმღევრობის ძირითადი $\omega_l = 2\pi/T$ სისტირე, რომელიც ქმნის პერიოდულ სიგნალს. დაშლის კოეფიციენტების გამოვლისას (2.3) ფორმულის გამოყენებით, ფურიეს მწერივის საშუალებით შეიძლება წარმოვიდგინოთ სხვადასხვა სისტირის მქონე პარმონიული, n -ს ჯერადი, რხევების ჯამის

$$\text{სახით: } s(t) = \frac{a_0}{2} + \sum_{n=1}^{\infty} (a_n \cos(n\omega_l t) + b_n \sin(n\omega_l t)) \quad (2.5)$$

$$\begin{aligned} \text{სადაც: } a_0 &= \frac{2}{T} \int_{-T/2}^{T/2} s(t) dt \\ a_n &= \frac{2}{T} \int_{-T/2}^{T/2} s(t) \cos(n\omega_l t) dt \end{aligned} \quad (2.6)$$

$$b_n = \frac{2}{T} \int_{-T/2}^{T/2} s(t) \sin(n\omega_l t) dt$$

ზოგად შემთხვევაში პერიოდული სიგნალი შეიცავს მუდმივ მდგენელს და პარმონიული რხევების – პარმონიკების უსასრულო კრებულს, რომელთა სისტირეები $\omega_n = n\omega_l$, $n = 0, 1, \dots$.

მიმდევრობის ძირითადი სიხშირეები ასე სიხშირის ჯერადია. ლურჯ სიგნალს გააჩნია მხოლოდ კოსინუსოიდალური, ხოლო კენტ სიგნალს - სინუსოიდალური მდგენელები.

თითოეული ჰარმონიკა შეიძლება აღიწეროს მისი ამპლიტუდით A_n და საწყისი ფაზით φ_n . მაშინ ფურიეს მწერივის კოეფიციენტები შეიძლება გამოვთვალოთ ფორმულებით:

$$a_n = A_n \cos \varphi_n$$

$$b_n = A_n \sin \varphi_n$$

$$A_n = \sqrt{a_n^2 + b_n^2}$$

$$\operatorname{tg} \varphi_n = \frac{b_n}{a_n},$$

ხოლო ფურიეს მწერივის ექვივალენტური ფორმულა იქნება:

$$s(t) = \frac{a_0}{2} + \sum_{n=1}^{\infty} A_n \cos(n\omega_0 t - \varphi_n), \quad (2.7)$$

რომელიც, ზოგჯერ, გამოსაყენებლად უფრო მოხერხებელი არის.

2.3. სიმაღლის სრუტული ფარმოდგმენი

რადიოტექნიკაში ორთოგონალური ფუნქციების ბაზისად იდებენ ჰარმონიულ ფუნქციებს, რაც დაკავშირებულია მათი გენერაციის სიმარტივესთან, აგრეთვე იმასთან, რომ სიგნალები ინვარიანტულია გარდაქმნების მიმართ სტანდარტულ ელექტრულ წრედებში.

სიგნალის სრექტრული დაშლა - ესაა სიგნალის წარმოდგენა სხვადასხვა სიხშირიანი ჰარმონიული რხევების ჯამის სახით.

სიხშირული სპექტრი (ანუ სპექტრი) - ესაა სიგნალის ცალკეული ჰარმონიული კომპონენტების კრებული.

პერიოდული სიგნალის სრექტრული დიაგრამა - ესაა ფურიეს მწერივის კოეფიციენტების გრაფიკური გამოსახულება კონკრეტული სიგნალისათვის.

არსებობს პერიოდული სიგნალის ამპლიტუდური და ფაზური სრექტრული დიაგრამები. დიაგრამების პორიზონტალურ დერძზე მასშტაბში გადაიზომება ჰარმონიკების სიხშირეები, ხოლო ვერტიკალურ დერძზე - მათი ამპლიტუდები (იხ. ნახ. 2.3) ან საწყისი ფაზები (იხ. ნახ. 2.4).



ნახ. 2.3



ნახ. 2.4

მაგალითი 2.1. მართვულხა ფორმის ვიდეომცულების $s(t)$ პარამეტრებია τ_0, T, A . ფუნქცია ლურჯია წერტილის $t = 0$ მიმართ. იპოვეთ ფურიეს მწკრივი.

ამონა: რადიოტექნიკაში თანაფარდობას $q = \frac{T}{\tau_0}$ უწოდებენ **იმპულსურა**.

თა სიმებხსრე, სადაც T არის სიგნალებს შორის პერიოდი, ხოლო τ_0 იმპულსის ხანგძლიობაა. (2.6) ფორმულების გამოყენებით გპოულიბო

$$a_0 = \frac{2}{T} \int_{-T/2}^{T/2} s(t) dt \Rightarrow \frac{a_0}{2} = \frac{1}{T} \int_{-\tau_0/2}^{\tau_0/2} Adt = \frac{A}{q \cdot \tau_0} t \Big|_{-\tau_0/2}^{\tau_0/2} = \frac{A}{q},$$

$$\begin{aligned} a_n &= \frac{2}{T} \int_{-T/2}^{T/2} s(t) \cos(n\omega_1 t) dt = \frac{2A}{T} \int_{-\tau_0/2}^{\tau_0/2} \cos(n\omega_1 t) dt = \frac{2A}{Tn\omega_1} \cdot 2 \sin \frac{n\omega_1 \tau_0}{2} = \\ &= \frac{2A}{\pi n} \sin \frac{n\omega_1 \tau_0}{2} \end{aligned}$$

საბოლოო ფურიეს მწკრივის ჩაწერა მოსახერხებელია შემდეგი (2.7) სახით, ანუ

$$s(t) = \frac{A}{q} \left[1 + 2 \sum_{n=1}^{\infty} \frac{\sin(n\pi/q)}{n\pi/q} \cos(n\omega_1 t) \right].$$

ნახ. 2.5-2.6 – ზე მოყვანილია განხილული მიმდევრობების ამპლიტუდური დიაგრამები ორი კიდურა შემთხვევისთვის: ნახ. 2.5 – დიდი მნიშვნელობის სიმებხსრის დროს, ხოლო ნახ. 2.6 – მცირე სიმებხსრის დროს.



ნახ. 2.5

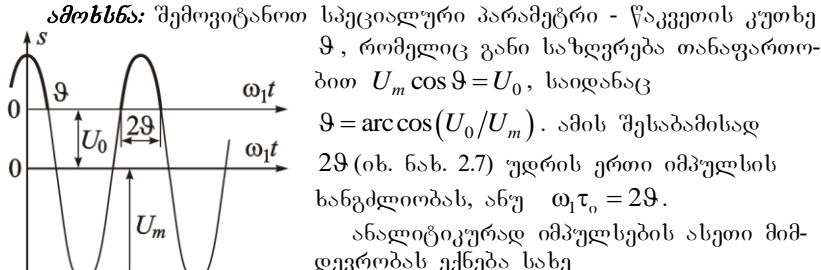


ნახ. 2.6

**პრიორული სიგნალები, ცურის მფრივები. პრიორული სიგნალის
სისტემული დიამრაცხა**

მნიშვნელოვანი აღინიშნოს, რომ მოკლე იმპულსები რომლებიც იშვიათად მიზდევენ ერთმანეთს ($q \ll 1$) ხასიათდებიან მდიდრული სპექტრული შემადგენლობით.

მაგალითი 2.1. პრიორულათ მიმდევრულ პარმონიულ სიგნალების იმპულსებს აქვს სახე $U_m \cos \omega_l t$. სიგნალი (იხ. ნახ. 2.7) შეზღუდულია U_0 დონეზე (იგულისხმება, რომ $|U_0| < U_m$). იმოვეთ ფურიეს მწკრივი.



ანალიტიურად იმპულსების ასეთი მიმდევრობას ექნება სახე

$$s(t) = U_m \cos \omega_l t - U_0, \quad -\theta \leq \omega_l t \leq \theta.$$

ნახ. 2.7

მიმდევრობის მუდმივი მდგენელი

$$\begin{aligned} \frac{a_0}{2} = \frac{1}{T} \int_{-\theta/\omega_l}^{\theta/\omega_l} (U_m \cos \omega_l t - U_0) dt &= \frac{1}{2\pi} \int_{-\theta}^{\theta} (U_m \cos \omega_l t - U_0) d(\omega_l t) = \\ &= \frac{U_m}{\pi} (\sin \theta - \theta \cos \theta). \end{aligned}$$

პირველი პარმონიების ამბლიტუდური კოეფიციენტი

$$a_1 = \frac{1}{2\pi} \int_{-\theta}^{\theta} (U_m \cos \omega_l t - U_0) \cos \omega_l t d(\omega_l t) = \frac{U_m}{\pi} (\theta - \sin \theta \cos \theta).$$

ანალოგურად გამოითვლება a_n პარმონიული მდგენელები, რო-

ცა $n = 2, 3, \dots$:

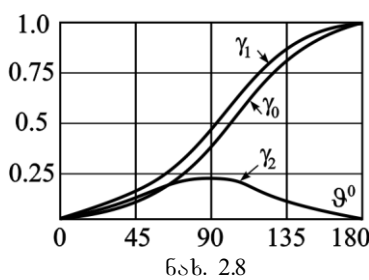
$$a_n = \frac{2U_m}{\pi} \cdot \frac{\sin n\theta \cos \theta - n \cos n\theta \sin \theta}{n(n^2 - 1)}.$$

ჩვეულებრივ მიღებული რეზულტატები ჩაიწერება ასე:

$$a_0/2 = U_m \gamma_0(\theta); \quad a_n = U_m \gamma_n(\theta),$$

სადაც $\gamma_0(\theta), \gamma_1(\theta), \gamma_2(\theta), \dots$ –

ბერგის ფუნქციებად წოდებული



$$\text{გამოსახულებებია: } \gamma_0 = \frac{1}{\pi} (\sin \theta - \theta \cos \theta), \quad \gamma_1 = \frac{1}{\pi} (\theta - \sin \theta \cos \theta),$$

$$\gamma_n = \frac{2}{\pi} \left(\frac{\sin n\vartheta \cos \vartheta - n \sin n\vartheta \cos \vartheta}{n(n^2 - 1)} \right), \quad \text{როცა } n = 2, 3, \dots$$

ბერგის ფუნქციების გრაფიკები მოყვანილია ნახ. 2.8 -ზე

2.4. გურიაშვილის მდგრადმატიკური ურთმა

პერიოდული სიგნალის სპექტრული დაშლა შეიძლება მოხდეს საბაზისო ფუნქციების სისტემაში, რომლებიც შედგება კომპლექსურ მაჩვენებლებიანი ექსპონენტებისაგან წარმოსახვითი მაჩვენებლებით:

$$\{u_k\} = \left\{ \frac{\exp(jk\omega_l t)}{\sqrt{T}} \right\}, \quad k = 0, \pm 1, \pm 2, \dots \quad (2.10)$$

ამ ბაზისის ფუნქციები პერიოდულია T პერიოდით და ორთონორმირებულია დროის მონაკვეთზე [-T/2, T/2], ვინაიდან

$$(u_m, u_n) = \int_{-T/2}^{T/2} u_m u_n^* dt = \frac{1}{2\pi} \int_{-\pi}^{\pi} e^{j(m-n)x} dx = \begin{cases} 1 & \text{როცა } m = n \\ 0 & \text{როცა } m \neq n \end{cases}.$$

მაშინ, კომპლექსური სიგნალის ნორმის გათვალისწინებით, ნებისმიერი პერიოდული სიგნალის ფურიეს კომპლექსური მრავივი მიიღებს სახეს

$$s(t) = \frac{1}{\sqrt{T}} \sum_{n=-\infty}^{\infty} c_n e^{jn\omega_l t} \quad \text{კოეფიციენტებით} \quad c_n = \frac{1}{\sqrt{T}} \int_{-T/2}^{T/2} s(t) e^{-jn\omega_l t} dt.$$

ჩვეულებრივ გამოიყენებენ შემდეგი ფორმით ჩაწერას:

$$s(t) = \sum_{n=-\infty}^{\infty} C_n e^{jn\omega_l t}, \quad (2.11)$$

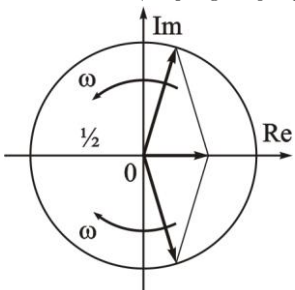
$$C_n = \frac{1}{T} \int_{-T/2}^{T/2} s(t) e^{-jn\omega_l t} dt. \quad (2.12)$$

გამოსახულება (2.11) წარმოადგენს ფურიეს მწარივს კომპლექსურ ფორმაში.

ფორმულის თანახმად სიგნალის სპექტრი შეიცავს კომპონენტებს სისტემის უარყოფით ნახევარდერტზე, ამასთან $C_{-n} = C_n^*$. (2.11) რიგში შესაკრეფები უარყოფითი და დადებითი სისტემაში ებით გაერთიანდებიან წყვილებად, მაგალითად:

$$\begin{aligned} C_n e^{jn\omega_l t} + C_{-n} e^{-jn\omega_l t} &= |C_n| e^{j(n\omega_l t - \varphi_n)} + |C_n| e^{-j(n\omega_l t + \varphi_n)} = \\ &= 2|C_n| \cos(n\omega_l t + \varphi_n) \end{aligned}$$

მაშასადამე, უარყოფითი სიხშირე – არა ფიზიკური ცნებაა, არამეტ მათემატიკური, რომელიც გამომდინარეობს კომპლექსური რიცხვების წარმოდგენის ხერხიდან. დადგებით სიხშირეს შეესაბამება ვექტორი, რომელიც ბრუნავს საათის ისრის თანხვთენილი მიმართულებით (იხ. ნახ. 2.9), ხოლო უარყოფით სიხშირეს – ვექტორი, რომელიც მოძრაობს საწინააღმდეგო მიმართულებით.



ნახ. 2.9

2.4. ფურიეს მფრივის ტრიგონომეტრიული ფორმა

გამოთვლებისას გასათვალისწინებელია ექსპონენციალური ფუნქციების კავშირი ტრიგონომეტრიულ ფუნქციებთან

$$e^{-jn\omega_l t} = \cos(n\omega_l t) - j \cdot \sin(n\omega_l t)$$

$$\cos(n\omega_l t) = \frac{e^{jn\omega_l t} + e^{-jn\omega_l t}}{2}$$

$$j \cdot \sin(n\omega_l t) = \frac{e^{jn\omega_l t} - e^{-jn\omega_l t}}{2}$$

ექსპონენციალური წარმოდგენის შემთხვევაში სიგნალის სპექტრი შეიცავს ჰარმონიკებს სიხშირეთა დერძის უარყოფით დერძის არეზე. ამ დროს უნდა გავითვალისწინოთ, რომ უარყოფითი სიხშირე მათემატიკური და არა ფიზიკური ცნებაა, განპირობებული კომპლექსური რიცხვების წარმოდგენით.

იმის გათვალისწინებით, რომ

$$\frac{1}{T} \int_0^T \cos^2(k\omega_l t - \phi_k) dt = \frac{1}{2},$$

$$\frac{1}{T} \int_0^T \cos(m\omega_l t - \phi_m) \cos(n\omega_l t - \phi_n) dt = 0,$$

$$\frac{1}{T} \int_0^T \cos(k\omega_l t - \phi_k) dt = 0,$$

სადაც m და n – მთელი რიცხვებია, რომლებიც წარმოადგენენ კ რიცხვის კერძო მნიშვნელობებს, შეიძლება ვაჩვენოთ, რომ:

$$\frac{1}{T} \int_0^T [S(t)]^2 dt = \frac{a_0^2}{4} + \frac{1}{2} \sum_{k=1}^{\infty} A_k^2$$

თუ ფუნქცია $S(t)$ წარმოადგენს, მაგალითად დენს ელექტრულ წრედში, მაშინ ეს გამოსახულება ჯოულ-ლენცის კანონის თანახმად, საშუალო სიმძლავრის პროპორციულია, რომელიც შთაინთქმება ამ წრედში. აქედან გამომდინარე, საშუალო სიძლავრე წრედში, რომელშიც გადის დენი, წარმოადგენს დროის როულ პერიოდულ ფუნქციას, ტოლია ყველა ჰარმონიკის საშუალო სიმძლავრეების ჯამს.

მიღებული გამოსახულების მარჯვენა ნაწილის ჯამი, წარმოადგენს უსასრულო მწკრივს. მაგრამ, რომელიდაც ნომრიდან დაწყებული, ჰარმონიკების ამპლიტუდები იმდენად მცირეა, რომ შეიძლება მათი უგულებელყოფა და პრაქტიკულად რეალური პერიოდული პროცესი წარმოადგენს ფუნქციას შემოფარგლული სპექტრით. სიხშირეთა ინტერვალს, რომელიც შეესაბამება შემოფარგლულ სპექტრს, ეწოდება სპექტრის სიგანე.

- * სიგნალების სპექტრული ანალიზის მოკლედ გადმოცემული თეორია საშუალებას გვაძლევს გავანალიზოზოთ სიგნალების გავლა რადიოტექნიკურ წრედებში, მოწყობილობებსა და სისტემებში.